

Рис. 2. Изменение тока гадолиниевого ЭДН с кварцевой изоляцией при колебаниях мощности реактора:  
— ток ЭДН; ○ — ток ионизационной камеры, отн. ед.

случаях. С возрастанием диаметра эмиттера для ЭДН с эмиттером из Ag относительный вклад «мгновенной» составляющей растет, достигая примерно 10% при диаметре эмиттера 0,7 мм. С ростом диаметра эмиттера увеличивается отношение доли короткоживущей составляющей к доле долгоживущей составляющей. Это явление, очевидно, связано с тем, что энергия  $\beta$ -частиц, испускаемых радиоактивным  $\text{Ag}^{110}$  (2,24 и 2,82 МэВ [6]), выше аналогичной величины для  $\text{Ag}^{108}$  (1,15 МэВ).

На рис. 2 показано изменение тока гадолиниевого ЭДН в течение нескольких циклов колебаний мощности реактора. Измерения показали, что гадолиниевые ЭДН практически безынерционны.

Поступило в Редакцию 1/II 1972 г.  
В окончательной редакции 7/VIII 1972 г.

#### ЛИТЕРАТУРА

1. И. Я. Емельянов и др. «Атомная энергия», 30, 275 (1971).
2. И. Я. Емельянов и др. «Атомная энергия», 27, 230 (1969).
3. В. Ф. Сучков и др. «Кабельная техника». Отделение ВНИИЭМ по научно-технической информации, стандартизации и нормализации в электротехнике, вып. 72, 1971.
4. В. Ф. Сучков и др. Жаростойкие кабели с магнезиальной изоляцией. М., Энергия, 1969.
5. W. Loosethoge, G. Kill. In: «Radiation Measurements in Nuclear Power». Proc. of the Internat. Conf. Sept. 1966, p. 430.
6. А. Н. Есмейнов и др. Получение радиоактивных изотопов, М., ГИХЛ, 1954, стр. 92, 94.

## Радиационно-химические превращения йода в системе трибутилфосфат — гексан — $\text{H}_2\text{O}$ — $\text{HNO}_3$

П. А. ЗАГОРЕЦ, З. И. РАСКИНА, Г. П. БУЛГАКОВА, В. М. МАКАРОВ,  
Т. Г. САЖИНА, Т. Н. АГАФОНОВА

Проблема иода, возникающая в экстракционной технологии высокооблученного ядерного горючего, охарактеризована в предыдущем сообщении [1]. В настоящей работе продолжены исследования радиацион-

но-химического поведения иода в трибутилфосфате (ТБФ) и в растворах трибутилфосфата в гексане. Изучена роль добавок ( $\text{H}_2\text{O}$ ,  $\text{HNO}_3$ ) в процессах радиолиза таких систем.

УДК 541.15:(547.264,118,5+546.15)

О приготовлении образцов, методике облучения и дозиметрии изложено в работе [1]. Анализ продуктов радиолиза растворов иода осуществляли спектрофотометрически ( $J_3^-$ ), методом потенциометрического титрования раствором  $AgNO_3$  водных вытяжек из облученных растворов (НJ) и методом газожидкостной хроматографии (алкилиодиды). Были использованы: хроматограф «Пай-104» с пламенно-ионизационным детектором; колонка длиной 1,5 м с внутренним диаметром 4 мм; расход газа-носителя ( $N_2$ ) 60 мл/мин; температура колонки 120° С. В качестве жидкой фазы использовали апельсон-L в количестве 15 вес.% на целлите C-545, предварительно обработанном соляной кислотой.

При  $\gamma$ -облучении растворов иода ( $C_{J_2} \sim 2 \cdot 10^{-2}$  М) в сухом чистом 100%-ном ТБФ наблюдается процесс превращения комплекса ТБФ· $J_2$  через промежуточную форму  $J_3^-$  в иодистые алкилы, в основном в  $C_4H_9J$ . Образуются также небольшие количества НJ. По мере накопления  $C_4H_9J$  становится заметным процесс его радиационно-химического разрушения по механизму [2, 3]:



При этом образуются этилпропил и некоторые другие алкилиодиды. Величина радиационно-химических выходов указанных процессов превращений иода в ТБФ приведена в таблице.

При насыщении растворов иода в ТБФ водой (~5 вес.%) значительно уменьшается радиационно-химический выход иодистого бутила (см. таблицу), но сильно увеличивается выход НJ. Влияние  $H_2O$  на радиолиз ТБФ (следовательно, и на выход  $C_4H_9J$ ) связывают [4] с защитным действием водородных связей на распад возбужденных молекул ТБФ.

Радиолиз исследуемой системы, приведенной в равновесие с водным раствором 2н.  $HNO_3$ , не обнаружил образования ионов  $J_3^-$ ; иодистый бутил образуется в незначительных количествах. Окончательно состав возникающих в присутствии  $HNO_3$  продуктов радиолиза иода не установлен. Предполагается протекание окислительно-восстановительных реакций иода с продуктами радиолиза азотной кислоты с образованием иодисто-водородной, гипоиодатной, иодатной кислот или их органических производных.

Радиационно-химические выводы  
процессов превращения иода  
( $C_{J_2} = 1,97 \cdot 10^{-2}$  М) в ТБФ и в ТБФ +  
гексан в отсутствие  $O_2$

Таблица

Процесс	Добавка	Без добавок		
		ТБФ, об. %	$H_2O$	$HNO_3$
Разрушение ТБФ· $J_2$	20	4,6	5,5	5,5
	100	6,8	6,1	3,9
Образование $J_3^-$	20	3,8	4,5	—
	100	4,4	4,5	—
Разрушение $J_3^-$	20	4,0	3,0	—
	100	4,3	4,5	—
Образование $C_4H_9J$	20	3,5	3,0	—
	100	7,7	1,2	—
Образование $C_6H_{13}J$	20	3,5	3,0	4,8
	100	—	—	—

Рис. 1. Радиационно-химические превращения иода ( $C_{J_2} = 1,97 \cdot 10^{-2}$  М) в системе ТБФ (20 об.%) + гексан в отсутствие  $O_2$ :  
1 — ТБФ· $J_2$ ; 2 —  $J_3^-$ ; 3 —  $C_6H_{13}J$ ; 4 —  $C_4H_9J$ .

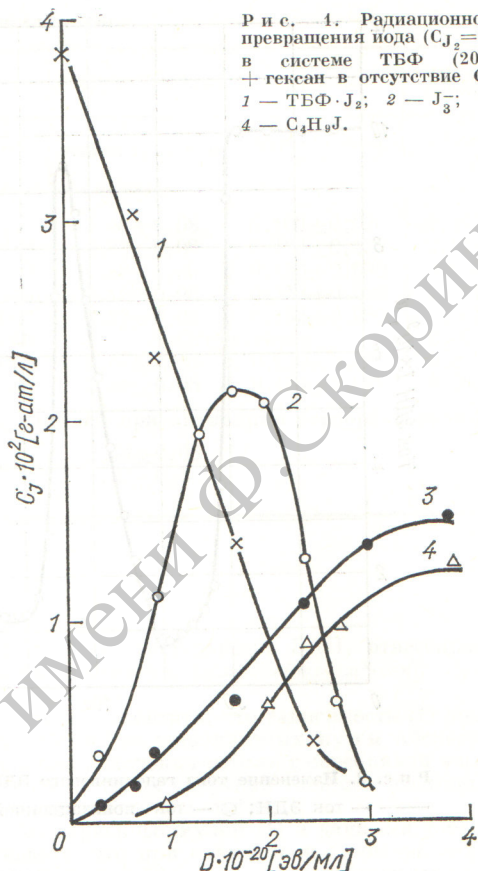
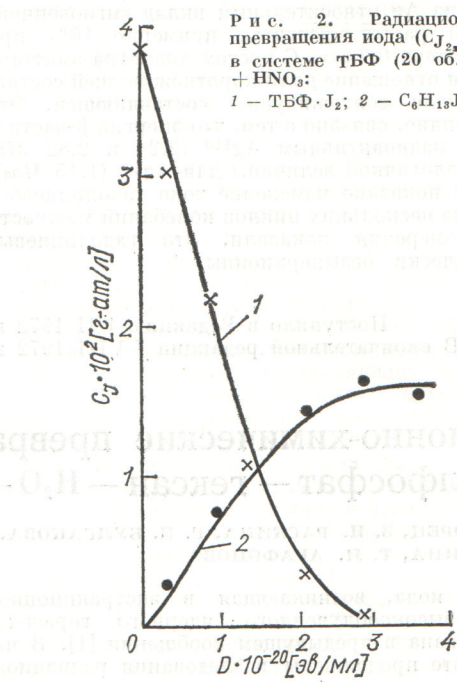


Рис. 2. Радиационно-химические превращения иода ( $C_{J_2} = 1,97 \cdot 10^{-2}$  М) в системе ТБФ (20 об.%) + гексан +  $HNO_3$ :  
1 — ТБФ· $J_2$ ; 2 —  $C_6H_{13}J$ .



При  $\gamma$ -облучении растворов иода в ТБФ + гексан (без добавок) общая картина радиационно-химических превращений иода близка к такой для чистого ТБФ (рис. 1). В обоих случаях комплекс ТБФ $\cdot$ J<sub>2</sub> разрушается и через промежуточную форму J<sub>3</sub><sup>-</sup> переходит в основном в C<sub>4</sub>H<sub>9</sub>J. В присутствии гексана наблюдается параллельное образование C<sub>6</sub>H<sub>13</sub>J (без индукционного периода):



Величины радиационно-химических выходов протекающих процессов радиолиза иода в ТБФ + гексан и в растворах с добавками приведены в таблице. Влияние H<sub>2</sub>O в растворах, разбавленных гексаном, не проявляется, что связано, по-видимому, с незначительной растворимостью воды в исследуемой системе (1 вес.% по данным [4]).

Радиационно-химические превращения иода в растворе ТБФ + гексан, приведенном в равновесие с водным раствором 2н. HNO<sub>3</sub>, показаны на рис. 2. В такой системе, как и в чистом ТБФ, содержащем HNO<sub>3</sub>, ионы J<sub>3</sub><sup>-</sup> не образуются, C<sub>4</sub>H<sub>9</sub>J образуется в незначительном количестве. Вместе с тем присутствие HNO<sub>3</sub> не влияет на иодирование разбавителя (гексана).

Прослежена роль иода в некоторых процессах радиационно-химического нитрования углеводородного разбавителя. Известно [5], что при радиолизе системы ТБФ + октан + HNO<sub>3</sub> в отсутствие O<sub>2</sub> образуются

в основном нитрооктан (G = 8·10<sup>-3</sup> эв) и октилнитрит (G = 8·10<sup>-3</sup> эв). В экспериментах с аналогичной системой (в отсутствие иода) нитрооктан идентифицирован спектрофотометрически по поглощению с  $\lambda_{\text{макс}} = 290 \text{ нм}$  [6].

При облучении растворов, содержащих иод (C<sub>2</sub>J<sub>2</sub> = 3,92·10<sup>-2</sup> M), поглощение с  $\lambda_{\text{макс}} = 290 \text{ нм}$  отсутствует. По-видимому, основной нитрующий агент (NO<sub>2</sub>) в значительной степени расходуется в окислительных реакциях с иодом и с его производными.

Поступило в Редакцию 10/VII 1972 г.

## Л И Т Е Р А Т У Р А

- П. А. Загорец и др. «Атомная энергия», 32, вып. 5, 422 (1972).
- Л. С. Поляк, П. Я. Черняк, А. С. Шербакова. «Химия высоких энергий», 2, № 4, 317 (1968).
- J. Thomas. *Tour. Phys. Chem.*, 71, No. 6, 1919 (1967).
- L. Burger, E. Mc-Clanahan. *Ind. Eng. Chem.* 50, No. 2, 153 (1958).
- Г. Ф. Егоров, В. И. Медведовский. «Химия высоких энергий», 5, № 1, 78 (1971).
- А. Гиллем, Е. Штерн. Электронные спектры поглощения органических соединений. М., Изд-во иностр. лит., 1957 г.

## О спиральной неустойчивости плазменного шнура эллиптического сечения

Л. С. СОЛОВЬЕВ

В настоящей работе выведены условия гидромагнитной устойчивости для плазменного шнура эллиптического поперечного сечения, относительного спиральным возмущениям для случаев однородного и поверхностного продольного тока.

Для гидромагнитной устойчивости плазменной конфигурации, удерживаемой в равновесии магнитным полем

$$\nabla p = [jB], \quad j = \text{rot } B, \quad \text{div } B = 0, \quad (1)$$

необходимо и достаточно положительной потенциальной энергии  $\delta W = \delta W_i + \delta W_{\Sigma} + \delta W_e$  при произвольных смещениях плазмы  $\xi$  [1–3]:

$$\delta W_i = \frac{1}{2} \int_{V_i} \{(\Omega + [je]\xi)^2 + \gamma p (\text{div } \xi)^2 - (\Omega + [je]^2)\xi^2\} d\tau; \quad (2)$$

$$\delta W_{\Sigma} = \frac{1}{2} \int_{\Sigma} \{B(B\nabla) n - B_e(B_e\nabla) n\} \xi_n^2 d\sigma; \quad (3)$$

$$\delta W_e = \frac{1}{2} \int_{V_e} (\text{rot } \delta A_e)^2 d\tau, \quad Q = \delta B = \text{rot } [\xi B], \quad (4)$$

где  $p$  — давление плазмы;  $B$ ,  $B_e$  — невозмущенные, а  $\delta B$  и  $\delta A_e = \text{rot } \delta A_e$  — возмущенные магнитные поля внутри и вне плазмы;  $\Sigma$  — граница плазмы с внешним магнит-

ным полем;  $n$  — внешняя нормаль к поверхности  $\Sigma$ ;  $\xi \equiv \xi^3 = \xi \nabla V$ ,  $e = e_3$  — компонента смещения и координатный вектор в натуральной системе координат [4]:

$$dr = e_1 dx^1 + e_2 d\xi + e_3 dV, \quad \Omega = I' \Phi'' - J' \chi'',$$

где  $\Phi(V)$  и  $J(V)$  — продольные, а  $\chi(V)$  и  $I(V)$  — поперечные потоки векторов  $B$  и  $j$ .

Если ввести комбинации компонент смещения  $\mu = \Phi' \xi^1 - \chi' \xi^2$ ,  $\lambda = J' \xi^1 - I' \xi^2$ , то

$$\text{div } \xi = \xi^1 + (j \nabla \mu - B \nabla \lambda) / p'; \quad (5)$$

$$Q = [\nabla \mu \nabla V] + (B \nabla \xi) e - (B \xi)', \quad (6)$$

где штрихом обозначено дифференцирование по  $V$ , а вектор  $B'$  определяется равенством  $B' = \chi' e_1 + \Phi e_2$  соответственно.

Для получения потенциальной энергии  $\delta W_i$  отдельной винтовой гармоники возмущения примем  $\xi = \xi(V) \times \cos 2\pi(n\xi - m\theta)$ ,  $\mu = \mu_1(V) \sin 2\pi(n\xi - m\theta) + \mu_2(V) \cos 2\pi(n\xi - m\theta)$ . Ограничимся случаем аксиально-симметричных тороидальных конфигураций, тогда минимизация  $\delta W_i$  по  $\mu_1$ ,  $\mu_2$  и интегрирование по  $\xi$  приводит к выражению [5]

$$\delta W_i = \frac{1}{4} \int \left\{ \frac{1}{c^2} (\nabla V(u\xi)' - [ce][je]\xi^2) + \left( \frac{4\pi^2 u^2}{c^2} [ce]^2 - \Omega - [je]^2 \right) \xi^2 \right\} d\tau. \quad (7)$$